

06.3

(C) 1993

ПРОХОЖДЕНИЕ БИПОЛЯРНЫХ ВИДЕОИМПУЛЬСОВ  
ЭЛЕКТРОМАГНИТНОГО ПОЛЯ ЧЕРЕЗ ТОНКУЮ ПЛЕНКУ  
ПОЛУПРОВОДНИКА С КВАНТОВОЙ СВЕРХРЕШЕТКОЙ

Э. Ванагас

В последние годы достигнут существенный прогресс в методах генерации и детектирования мощных видеоимпульсов (ВИ) электромагнитного поля с длительностью  $t_p \approx 10^{-12}$  с (терагерцовых видеоимпульсов) [1-6]. Терагерцовые видеоимпульсы широко используются в исследованиях по спектроскопии диэлектриков, полупроводников и высокотемпературных сверхпроводников. Так, по данным анализа временной формы и спектра ВИ изучаются дисперсионные свойства кристаллов в области микроволн и дальнего ИК диапазона, времена релаксации момента свободных носителей в полупроводниках, динамическая проводимость в высокотемпературных сверхпроводниках.

Ранее [7, 8] аналитически исследовалось прохождение однополярных ВИ через пленку полупроводника с квантовой сверхрешеткой (СР) на границе раздела линейных диэлектрических сред. В [7] было показано, что в когерентном режиме прохождения ВИ (длительность ВИ  $t_p$  предполагается малой по сравнению с временем релаксации момента электронов в мини-зоне проводимости полупроводника с СР) возможна а) трансформация однополярных ВИ в биполярные и б) компрессия прошедших ВИ. В данной работе численно исследуется прохождение биполярных ВИ через тонкую пленку полупроводника с квантовой СР.

Пусть на границе раздела двух линейных диэлектрических сред в плоскости  $x = 0$  расположена тонкая пленка полупроводника с квантовой СР. Толщина пленки  $\ell$  считается много меньше длины волны излучения. Диэлектрические среды, окружающие пленку, характеризуются проницаемостями  $\epsilon_1$ , при  $x < 0$  и  $\epsilon_2$ , при  $x > 0$ . Рассмотрим случай, когда на границу раздела со стороны  $x < 0$  падает ВИ ТЕ-типа:  $E = (0, E_y, 0)$  и  $H = (H_x, 0, H_z)$ . Отраженный ВИ уходит обратно в область  $x < 0$ , а прошедший ВИ распространяется в область  $x > 0$ . Вне пленки ( $x \neq 0$ )  $E$ ,  $H$  определяются уравнениями Максвелла, а при  $x = 0$  – условиями непрерывности. Границные условия при  $x = 0$  позволяют найти связь между безразмерными амплитудами падающей  $q_{in}(\tau)$  и прошедшей  $q_{tr}(\tau)$  волн [7]:

$$q_{tr}(\tau) = R(\theta) q_{in}(\tau) - k(\theta) \sin \left( \int_{-\infty}^{\tau} q_{tr}(\tau') d\tau' \right), \quad (1)$$

где  $\tau = t/t_p$ ,  $q_{tr}(\tau) = dE_{in}(t)t_p/\hbar$ ,  $q_{tr}(\tau) = dE_{tr}(t)t_p/\hbar$ ,  $d$  – период сверхрешетки, имеющей ось вдоль Оу,  $R(\theta)$  – френелевский коэффициент преломления,  $k(\theta)$  – параметр нелинейности. Для волны ТЕ-типа:

$$R(\theta) = 2 \cos \theta / [\cos \theta + (\cos^2 \theta + \Delta^2)^{1/2}], \quad (2)$$

$$k(\theta) = (t_p/t_s) / [\cos \theta + (\cos^2 \theta + \Delta^2)^{1/2}], \quad (3)$$

где  $\theta$  – угол падения,  $t_s = \varepsilon_1^{1/2} c / \omega_{pl}^2 l$  – характерное время отклика электронной системы в полупроводнике с СР,  $\omega_{pl}$  – плазменная частота электронов в мини-зоне проводимости,  $\Delta^2 = (\varepsilon_2 - \varepsilon_1)/\varepsilon_1$  и  $\varepsilon_1 \leq \varepsilon_2$ .

В [7] было показано, что уравнение (1) сводится к сингулярному уравнению синус–Гордона (ССГ), допускающему решение методом обратной задачи рассеяния (ОЗР). Однако решение ССГ методом ОЗР удается получить, если падающий ВИ имеет  $\text{sech}$ -форму (однополярный видеоимпульс). Таким образом, не имея возможности найти точные решения для произвольной формы падающего ВИ с помощью ОЗР метода, эта задача рассмотрена путем численного решения (1).

Пусть на нелинейную границу раздела падает биполярный ВИ, имеющий вид

$$q_{in}(\tau) = q_0 \operatorname{sech}(\tau) \sin(\tau). \quad (4)$$

Нас будет интересовать поведение временной формы и спектра прошедшего видеоимпульса в зависимости от амплитуды  $q_0$  и параметра нелинейности  $k(\theta)$ . При выполнении расчетов полагалось, что  $\varepsilon_1 = \varepsilon_2 = \varepsilon$ .

На рис. 1. представлена зависимость формы прошедшего видеоимпульса от  $k(\theta)$ , в случае, когда  $q_0 = 2$ . Из рисунка видно, что с ростом параметра нелинейности  $k(\theta)$  происходит монотонное уменьшение амплитуды прошедшего ВИ. При этом спектр ВИ менялся слабо. Очевидно, что при  $k(\theta) \geq 6$  падающий ВИ почти полностью отразится нелинейной границей раздела.

Если амплитуда падающего видеоимпульса меняется в области  $q_0 < 7$ , то сценарий прохождения ВИ аналогичен предыдущему случаю, однако при  $q_0 \geq 7$  имеются существенные отличия. На рис. 2 представлена динамика прохождения ВИ через тонкую нелинейную пленку в случае, когда  $q_0 = 10$ . Хорошо видно, что с ростом параметра нелинейности  $k(\theta)$  от 0 до 3 происходит сжатие субимпульсов разных полярностей. Максимальное сжатие субимпульсов достигается при  $k(\theta) \approx 3$ . Если параметр нелинейности меняется в области  $k(\theta) > 3$ , то прошедшие ВИ уменьшаются по амплитуде, т.е. субимпульсы разных полярностей начинают рекомбинироваться.

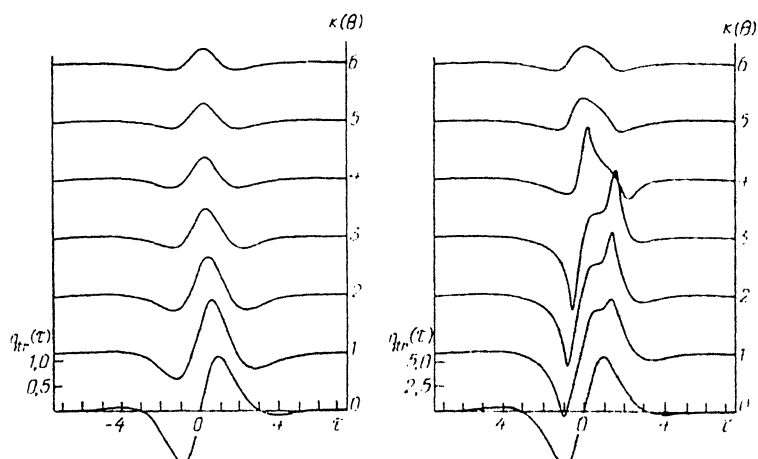


Рис. 1. Зависимость формы прошедшего видеоимпульса от параметра нелинейности  $k(\theta)$ , когда  $q_{in}(\tau) = 2 \operatorname{sech}(\tau) \sin(\tau)$ .

Рис. 2. Зависимость формы прошедшего видеоимпульса от параметра нелинейности  $k(\theta)$ , когда  $q_{in}(\tau) = 10 \operatorname{sech}(\tau) \sin(\tau)$ .

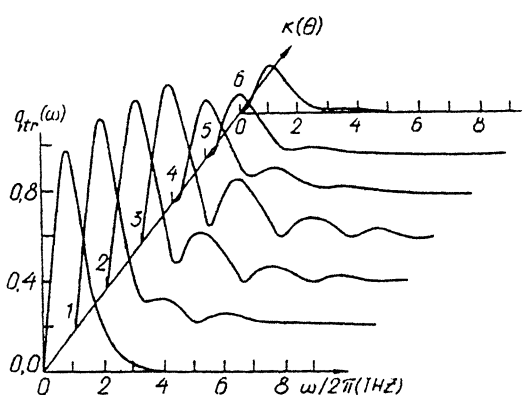


Рис. 3. Зависимость спектра прошедшего видеоимпульса от параметра нелинейности  $k(\theta)$ , когда  $q_{in}(\tau) = 10 \operatorname{sech}(\tau) \sin(\tau)$ .

Рис. 3. иллюстрирует зависимость спектра прошедшего ВИ от  $k(\theta)$ , когда  $\varphi_0 = 10$ . Мы видим, что с ростом параметра нелинейности  $k(\theta)$  от 0 до 3 имеет место сильное уширение спектра ВИ в голубую область. Интересным результатом является то, что уширение спектра прошедшего ВИ связано с генерацией высокочастотных линий. При этом положения центров высокочастотных линий могут быть определены по эмпирической формуле  $\omega_n (1 + 2n) \omega_0$ , где  $\omega_0$  – несущая частота падающего ВИ,  $n$  – номер

лини. Отсюда следует, что при прохождении ВИ через тонкую нелинейную пленку генерация 3, 5, 7, ... гармоник электромагнитного поля. Особо отметим, что при  $k(\theta) \approx 3$  спектральные плотности гармоник спадают весьма медленно. С ростом параметра нелинейности в области значений  $k(\theta) > 3$  эффективность генерации высших гармоник начинает падать.

Таким образом, к основным закономерностям когерентного режима прохождения биполярных ВИ через тонкую пленку полупроводника с квантовой СР можно отнести: а) возможность получения сжатых субимпульсов разных полярностей, б) эффективную генерацию нечетных гармоник электромагнитного поля и в) почти полное отражение ВИ. При этом сжатие субимпульсов разных полярностей может быть интерпретировано как нелинейная интерференция гармоник электромагнитного поля.

В заключение обсудим возможность генерации гармоник при прохождении ВИ с  $t_p = 10^{-12}$  с через тонкую пленку полупроводника с СР. Как вы видели, генерация гармоник имеет место только в том случае, когда  $\varphi_0 \geq 7$ . Полагая период сверхрешетки  $d = 100 \text{ \AA}$ , что типично для полупроводников со сверхрешетками, находим, что напряженность электрического поля падающего ВИ должна быть порядка  $E_0 \geq 2.5 \text{ кВ/с}$ . Если  $\omega_{pl} = 10^{13} \text{ с}^{-1}$ ,  $l = 20 \mu\text{м}$  и  $\mathcal{E}_1 = \mathcal{E}_2 = 2$ , то эффективная генерация гармоник (см. рис. 3) будет наблюдаться при углах падения  $\theta \approx 19^\circ$ .

#### Список литературы

- [1] Hu B.B., Zhang X.-C., Auston D.H., Smith P.R. // Appl. Phys. Lett. 1990. V. 56. N 6. P. 506–508.
- [2] Xu L., Zhang X.-C., Auston D.H. // Appl. Phys. Lett. 1992. V. 61. N 15. P. 1784–1786.
- [3] Froberg N.M., Hu B.B., Zhang X.-C., Auston D.H. // IEEE J. Quantum Electronic. 1992. V. 28. N 10. P. 2291–2301.
- [4] Greene B.L., Federici J.E., Dykaar D.R., Jones R.R., Bucksbaum P.H. // Appl. Phys. Lett. 1991. V. 59. N 8. P. 893–895.
- [5] Shaw, Norris T.B., Burm J.W., Woodard D., Schaff W.J. // Appl. Phys. Lett. 1992. T. 61. N 15. P. 1763–1765.
- [6] Galvanauskas A., Tellefsen J.A., Jr., Krotkus A., Oberg M., Broberg B. // Appl. Phys. Lett. 1992. V. 60. N 2. P. 145–147.
- [7] Ванагас Э. // Литовский физический сборник. 1992. Т. 32. В. 5. С. 634–646.
- [8] Глушенко А.Г. // Письма в ЖТФ. 1992. Т. 18. В. 4. С. 7–9.